

Письма в ЖЭТФ, том 9, стр. 657 - 660

20 июня 1969г.

## ТУННЕЛЬНЫЙ ТОК В ПЕРЕХОДАХ $\text{Al} - \text{Al}_2\text{O}_3 - \text{Al}$ , ОГРАНИЧЕННЫЙ ПРОСТРАНСТВЕННЫМ ЗАРЯДОМ

A.A.Галкин, O.M.Инамъев

В работах [1-4] сообщалось о наблюдении участков с отрицательным сопротивлением на вольт-амперных характеристиках туннельных переходов Ме - Д - Ме, в том числе переходов  $\text{Al} - \text{Al}_2\text{O}_3 - \text{Al}$ . Появление участка с отрицательным сопротивлением объясняется в работе [1] наличием в пленке диэлектрика  $p-n$ -перехода.

На туннельных характеристиках переходов  $\text{Al} - \text{Al}_2\text{O}_3 - \text{Al}$  нами зарегистрированы участки с отрицательным сопротивлением при напряжениях смещения обеих полярностей. Кривая проводимости  $g(U) = di / dU(U)$  имеет почти симметричную  $w$ -образную форму с глубоким провалом при  $U = 0$  (рис.1). Напряжения смещения  $U_1, U_2, U_1', U_2'$ , отвечающие экстремумам на вольт-амперной характеристике, составляют 0,152, 0,212, -0,155 и -0,213 эв, соответственно. Положительному смещению соответствует положительное напряжение, приложенное к верхнему электроду туннельного перехода. Кривая  $g(U) = di / dU(U)$  для рассматриваемых переходов  $\text{Al} - \text{Al}_2\text{O}_3 - \text{Al}$  внешне аналогична наблюдавшимся нами ранее  $w$ -кривым туннельной проводимости для переходов  $\text{Me} - \text{D} - \text{Bi}_{1-x}\text{Sb}_x$  [5]. По аналогии нам представляется возможным объяснить участки с отрицательным сопротивлением на вольт-амперной характеристике переходов  $\text{Al} - \text{Al}_2\text{O}_3 - \text{Al}$ , наличием приповерхностных ловушек в слое  $\text{Al}_2\text{O}_3$  вблизи границ раздела диэлектрик - электрод. На рис.2 приведена энергетическая диаграмма для перехода  $\text{Al} - \text{Al}_2\text{O}_3 - \text{Al}$ . При напряжениях смещения  $U_3 < U < U_4$  или  $U_4' < U < U_3'$  часть туннелирующих электронов, захватываясь ловушками, создает в слое диэлектрика пространственный приповерхностный отрицательный

заряд. Изменение этого заряда приводит к изменению конфигурации электрического поля в потенциальном барьере и весьма существенно ограничивает туннельный ток, протекающий через переход. Вольт-амперные

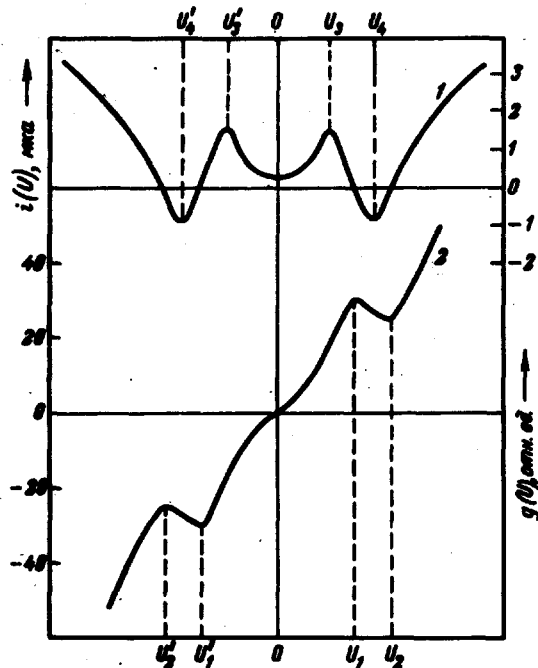


Рис.1. 1 – кривая туннельной проводимости  $g(U)$  и 2 – кривая туннельного перехода  $Al \rightarrow Al_2O_3 \rightarrow Al$

характеристики переходов с ярко выраженным участком отрицательного сопротивления наблюдались нами при азотной и гелиевой температурах. При комнатной температуре такие характеристики не наблюдались. Это обстоятельство может быть объяснено экспоненциальной зависимостью от температуры времени жизни ловушек в ионизированном состоянии и, соответственно, сильной температурной зависимостью плотности пространственного заряда, накапливающегося на ловушках при протекании туннельного тока. По приближенной оценке плотность приповерхностных ловушек с каждой стороны барьера в интервалах энергий  $\Delta E = e (U_4 - U_3)$  и  $\Delta E' = e (U'_5 - U'_4)$  составляет

$$\delta(E) > 10^{17} \text{ cm}^{-3} \cdot \text{je}^{-1}.$$

Происхождение приповерхностных состояний – ловушек не установлено, однако, предполагается, что эти состояния могут появиться в результате взаимодействия поверхностных слоев тонкой пленки алюминия, напыляемой для формирования потенциального барьера способом сквозно-

го окисления [ 5 ], с адсорбированными молекулами остаточных газов, а также паров воды и рабочей жидкости диффузионного насоса (масло (ВМ-1)).

При низких температурах на вольт-амперных характеристиках переходов  $\text{Al} - \text{Al}_2\text{O}_3 - \text{Al}$  наблюдалась также нерегулярности в виде очень узких и острых провалов  $\Delta i$  туннельного тока при напряжениях смеще-

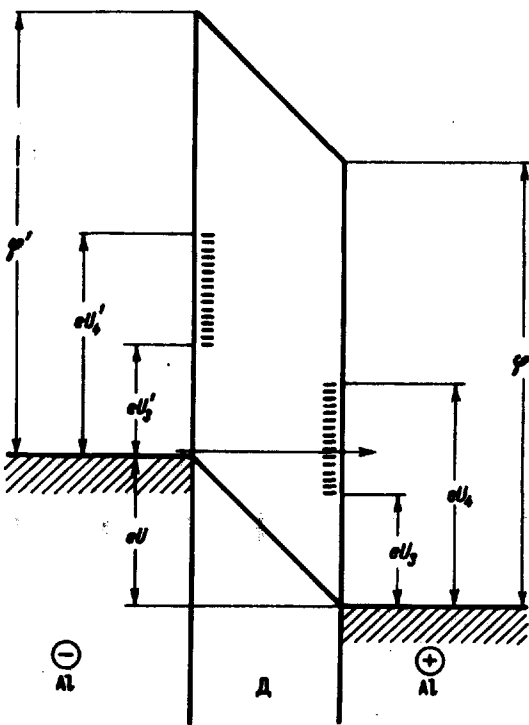


Рис.2. Энергетическая диаграмма туннельного перехода  $\text{Al} - \text{Al}_2\text{O}_3 - \text{Al}$  с приповерхностными ловушками в потенциальном барьере. К переходу приложено положительное напряжение смещения,  $U_3 < U < U_4$

ния обеих полярностей. Относительная глубина провала в отсутствие магнитного поля составляет  $\Delta i / i = 0,06$ . С увеличением напряженности магнитного поля  $|\Delta i / i|$  уменьшается и в полях  $H \geq 8$  кэ равна нулю. Напряжение смещения  $U_{\Pi}$ , соответствующее провалу  $\Delta i$ , практически не зависит от магнитного поля. Полученные данные можно объяснить, исходя из предположения, что имеет место неупругое рассеяние туннелирующих электронов на квазичастицах с энергией  $\epsilon_K = eU_{\Pi} = 1,3$  мэв, отсчитанной от уровня Ферми. Природа квазичастиц нами не установлена. На кривых  $d^2i / dU^2(U)$  при гелиевой температуре нами зарегистрированы четкие максимумы, обусловленные взаимодействием туннелирующих электронов с фононами. Полученные из туннельных измерений энергии фо-

ионов в конденсированной пленке алюминия составляют  $\hbar\omega = 8,0; 13,3;$   
19,6 и 30,8 мэв. Эти результаты удовлетворительно согласуются с дан-  
ными, приведенными в работе [6].

Выражаем признательность Ю.А.Браташевскому за обсуждение ре-  
зультатов и В.Ю.Таренкову за помощь в проведении экспериментов.

Донецкий  
Физико-технический институт  
Академии наук Украинской ССР

Поступила в редакцию  
5 мая 1969г.

### Литература

- [1] T.W.Hickmott . H.Appl.Phys., 33, 2669, 1962; J.Appl.Phys., 35,  
2118, 1964; J.Appl.Phys., 36, 1885, 1965.
- [2] В.И.Стафеев и др. ФТПП, 2, 767, 1968.
- [3] Г.А.Филаретов и др. ФТПП, 1, 1492, 1967.
- [4] S.Pakswert, K.Pratinidni . J.Appl.Phys., 34, 711, 1963.
- [5] А.А.Галкин, О.М.Игнатьев. Укр.физ.ж. (в печати).
- [6] J.Lambe, R.C.Jaklewic . Phys.Rev., 165, 828, 1968.

Письма в ЖЭТФ, том 9, стр. 660 – 663

20 июня 1969г.

## 22 ДВУХУРОВНЕВЫЙ ГАЗОВЫЙ ЛАЗЕР С КОГЕРЕНТНОЙ ОПТИЧЕСКОЙ НАКАЧКОЙ

*Н.Г.Басов, В.С.Лемахов*

1. В работе [1] был предложен метод когерентной оптической накачки, позволяющий получать чрезвычайно узкие линии усиления (до  $10^4 + + 10^5 \text{ Гц}$ ) внутри допплеровской линии пучка атомов или молекул. Это представляет интерес для создания квантового стандарта частоты в оптическом диапазоне (см. обзор [2]). В настоящей работе предлагается получать узкие линии усиления при когерентной оптической накачке по двухуровневой схеме газа низкого давления и схема двухуровневого газового лазера, основанного на когерентной накачке собственным излучением.